

## ارزیابی قابلیت محصولات بارشی ماهواره TRMM در پایش بارش و نرخ فرسایندگی ایران

**پیمان محمدی احمدمحمودی\***: کارشناس ارشد رشته‌ی سنجش از دور و سیستم‌های اطلاعات جغرافیاگی، دانشکده‌ی علوم انسانی، دانشگاه هرمزگان، بندرعباس.

تاریخ پذیرش: (تاریخ دریافت: ۱۳۹۷/۰۷/۳۰) ۱۳۹۷/۱۱/۲۸

### چکیده

برای محاسبه‌ی قدرت فرسایندگی بارش، داده‌های فضایی بارندگی با وضوح بالا برای ارزیابی فرسایش باران ضروری است. سنجنده‌های باران، توزیع فضایی نامنظم و ناهمانگی فضایی حاصل از بارش را در برآورد مقدار بارندگی به خوبی نشان نمی‌دهند؛ زیرا بارش را به صورت نقطه‌ای اندازه‌گیری می‌کنند. برآورد مقدار بارش از داده‌های ماهواره‌ای، راه حلی جایگزین برای این مشکل است که امکان برآورد مقدار بارش و توزیع فضایی آن را در مناطق بزرگ فراهم می‌کند. هدف از این پژوهش، ارزیابی قابلیت داده‌های بارشی ماهواره TRMM در برآورد بارش و پایش نرخ فرسایندگی در سطح ایران است. در این پژوهش از داده‌های ماهانه‌ی ماهواره TRMM طی سال‌های ۲۰۰۰، ۲۰۰۵، ۲۰۱۰ و ۲۰۱۵، به منظور برآورد نرخ و ترسیم نقشه‌ی بارش و فرسایندگی با استفاده از شاخص فورنیه در سطح کشور استفاده شده است. برای ارزیابی دقت و صحت داده‌های TRMM نیز از آمار بارش ماهانه‌ی ایستگاه زمینی همزمان با داده‌های TRMM استفاده شده است. نتایج پژوهش در ارزیابی بارش و نرخ فرسایندگی نشان می‌دهد که به طور کلی، بیشترین نرخ بارش و فرسایندگی متعلق به ناحیه‌ی خزری، مناطق مرتفع زاگرس و البرز است و کم بارش ترین مناطق بارشی و نرخ فرسایندگی به ایران مرکزی، شرق و جنوب شرق کشور اختصاص دارد. سایر مناطق کشور نیز نرخ فرسایندگی بینایی دارد. نتایج ارزیابی دقت داده‌های TRMM در قیاس با ایستگاه‌های زمینی نشان می‌دهد که ضریب  $R^2$  برای سال‌های پایش شده به ترتیب  $0.86$ ،  $0.77$ ،  $0.73$  و  $0.82$  است که از این منظر، این داده‌ها جایگزین مناسبی برای ایستگاه‌های زمینی محسوب می‌شود. نتایج ضریب RMSE برای سال‌های پایش شده نیز به ترتیب برابر است با  $1.52$ ،  $2.05$ ،  $2.13$  و  $2.73$  که از این نظر، اختلاف بین داده‌های زمینی و ماهواره‌ای به دلیل قدرت تفکیک مکانی ضعیف داده‌های TRMM و ماهیت متفاوت برداشت با ایستگاه‌های زمینی نسبتاً زیاد است.

**واژگان کلیدی:** داده‌های فضایی، فرسایش، مخاطرات محیطی، مدیریت اراضی.

### - مقدمه

خاک یکی از مهم‌ترین منابع طبیعی در هر کشور است که فرسایش آن به بروز بسیاری از مشکلات انسانی به ویژه در مناطق خشک و نیمه‌خشک منجر می‌شود. در ایران بیش از ۷۵ درصد خاک‌ها در معرض فرسایش هستند (Alizadeh, 1986). امروزه فرسایش خاک، خطری برای رفاه انسان و حتی حیات او به شمار می‌آید. فرسایش نه تنها سبب فقیر شدن خاک و متوجه شدن مزارع می‌شود و از این راه خسارت زیاد و جبران‌ناپذیری به جا می‌گذارد، بلکه با رسوب مواد در آبراهه‌ها، مخازن، سدها، بندرهای کاهش ظرفیت آبگیری آنها نیز سبب زیان‌های فراوانی

می شود (Refahi, 2010).

در فرسایش آبی قدرت فرسایندگی باران، نیروی محرکه یا توان عوامل فرسایش زا (نظیر باران یا روان آب ناشی از آن) در جداسازی و انتقال ذرات خاک است (Alipour et al, 2010). برای محاسبه قدرت فرسایندگی بارش، داده های فضایی بارندگی با وضوح بالا برای ارزیابی فرسایش باران ضروری است (Teng et al, 2017) با این حال، گردآوری اطلاعات پیرامون انژری جنبشی قطرات باران و مقادیر ریزش باران در تفکیک زمانی کوتاه مدت بهخصوص در کشورهای جهان سوم، زمانبر و سخت و در عین حال پردازش آنها مشکل است (Lai et al, 2016)؛ به همین دلیل برای محاسبه فرسایش پذیری خاک، اغلب از روابط آماری و بارندگی سالانه برای محاسبه شاخص فرسایش استفاده می شود (Mikhailova et al, 1997) سنجنده های باران، اطلاعات ارزشمندی در مورد میزان و شدت بارندگی ارائه می دهد، اما توزیع فضایی نامنظم و ناهمانگی فضایی حاصل از بارش را در برآورد مقادیر بارندگی به خوبی نشان نمی دهد (Kühnlein et al, 2014)؛ زیرا بارش را به صورت نقطه ای اندازه گیری می کند. در این حالت، برآورد مقدار بارش از داده های ماهواره ای یک راه حل جایگزین برای این مشکل است که برآورد مقدار بارش و توزیع فضایی آن را در مناطق بزرگ ممکن می سازد (Maidment et al, 2017). از سال ۱۹۹۷ تاکنون از ماهواره TRMM<sup>1</sup> برای رسیدن به محصولات بارشی – که نیمی از جهان را پوشش می دهد – استفاده می شود (Sanchez et al, 2014). این محصولات در پژوهش های اقلیم شناسی و هیدرولوژیکی (Kimani et al, 2017) و ارزیابی فضایی مقدار فرسایش مورد استفاده قرار می گیرد (Teng et al, 2017).

Zhu و همکاران (۲۰۱۱) در پژوهشی با عنوان روشی جدید برای تخمین فاکتور فرسایندگی باران، بر اساس داده های TRMM در استان لیانونینگ چین، از داده های بارشی سه ساعته TRMM-3B42 به منظور تخمین فرسایندگی باران با استفاده از شاخص EI<sub>30</sub> استفاده کردند. نتایج پژوهش آنها نشان داد که داده های TRMM، همبستگی معنی داری با داده های ایستگاه باران سنجی دارد. آنها استفاده از داده های TRMM – که بر اساس شدت بارندگی هستند – را برای استفاده به عنوان فاکتور فرسایندگی باران مؤثر دانستند و استفاده از آنها را بالاخص برای مناطق قادر ایستگاه باران سنجی توصیه کردند.

Pandey و همکاران (۲۰۱۵) در پژوهشی با عنوان مدل سازی فرسایش خاک با استفاده از داده های بارشی ماهواره ای در محدوده حوضه ای آبخیز کارنالی در هند، از محصولات V7 TRMM-3B42 TRMM ماهواره ای به منظور برآورد فاکتور فرسایندگی باران با استفاده از شاخص فورنیه استفاده کردند. سپس نتایج آن را در مدل جهانی فرسایش خاک قرار دادند. آنها پس از برآورد فرسایش خاک، به طبقه بندی و مقیاس گذاری کیفی حوضه ای آبخیز از نظر فرسایش آبی پرداختند. نتایج این پژوهش نشان داد که حدود ۶۹ درصد از حوضه ای رودخانه کارنالی به توجه فوری نیازمند است تا اقدامات آبخیزداری برای حفاظت خاک در آن صورت گیرد.

Teng و همکاران (۲۰۱۶) پژوهشی با عنوان تلفیق داده های ماهواره ای مرئی و مادون قرمز انجام دادند. آنها به منظور مدل سازی فرسایش خاک و خسارت ناشی از آن در استرالیا، برای تخمین عامل فرسایندگی باران از داده های TRMM طی سال های ۲۰۰۲ تا ۲۰۱۲ به منظور محاسبه حداکثر شدت بارندگی سه ساعته و درنهایت تخمین فاکتور R در مدل

<sup>1</sup> Tropical Rainfall Measuring Mission

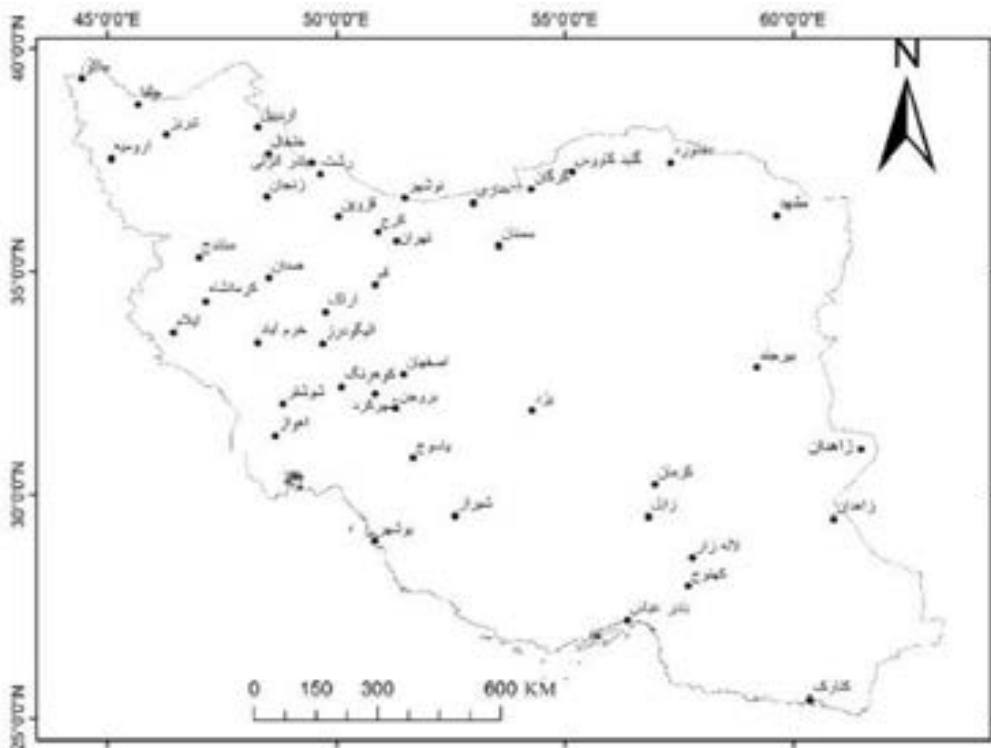
جهانی فرسایش خاک استفاده کردند. نتایج ارزیابی دقت فاکتور R تخمین زده شده توسط داده‌های TRMM با داده‌های ایستگاه‌های زمینی، دارای ضریب  $R^2=0.86$  و  $RMSE=2726$  بود.

Teng و همکاران (۲۰۱۷) پژوهشی با عنوان بهبود پارامتر بارش جهت برآورد فاکتور فرسایش‌پذیری با استفاده از تلفیق داده‌های بارش با داده‌های TRMM انجام دادند. آنها از محصولات روزانه TRMM در کل سطح کشور چین بهمنظور برآورد فرسایش خاک استفاده کردند. نتایج پژوهش آنها نشان داد که داده‌های TRMM دقت بالایی در برآورد فرسایش‌پذیری خاک دارد.

بر اساس مطالعات انجام شده در ایران، سالیانه به طور متوسط ۱۵۰۰ تن خاک در هر کیلومتر مربع از سطح زمین در اثر فرسایش آبی شسته می‌شود و این بدان معناست که هر سال یک میلی‌متر از ضخامت خاک در کشور کاسه می‌شود. از آنجایی که در کشورهای در حال توسعه، استفاده از روش‌های تجربی و مشاهدات میدانی برای اندازه‌گیری نرخ فرسایش زمانبر است و اغلب هزینه‌های زیادی دارد؛ بنابراین، استفاده از روش‌های جایگزین و کم‌هزینه‌تر مانند Abedin and Jacob njadasl (2017). در سطح جهان چندین پژوهش با استفاده از محصولات بارشی ماهواره‌ی TRMM برای برآورد فاکتور فرسایش‌پذیری خاک صورت گرفت، ولی در ایران تاکنون از این محصولات در بررسی‌های مربوط به بحث فرسایش و فرسایش‌پذیری استفاده نشده است. از آنجایی که یکی از محدودیت‌های برآورد قدرت فرسایندگی باران در بخش‌های وسیعی از کشور، نبود اطلاعات پیرامون شدت یا مقدار بارش است (Moradi et al, 2015)، این پژوهش می‌تواند رهیافتی برای برطرف کردن محدودیت‌هایی همچون نبود آمار شدت و میزان بارش در سطح کشور باشد. هدف از این پژوهش، پایش مقدار بارندگی و فرسایش‌پذیری خاک با استفاده از محصولات بارشی ماهواره‌ی TRMM در سطح کشور است.

## ۲- مواد و روش

در این پژوهش برای پایش نرخ بارش و بررسی عملکرد داده‌های TRMM طی فصول و سال‌های مختلف، از داده‌های ماهانه TRMM-3B42 در تفکیک زمینی  $25^\circ\text{S}/25^\circ\text{N}$  درجه و بهمنظور تخمین نرخ فرسایندگی با استفاده از شاخص فورنیه اصلاح شده شده است. علت استفاده از شاخص فورنیه اصلاح شده، مقایسه با نرخ فرسایندگی به دست آمده از ایستگاه‌های زمینی - که داده‌های آنها وجود دارد - است. داده‌های ماهانه TRMM-3B42 برای تخمین نرخ فرسایندگی طی سال‌های ۲۰۰۱، ۲۰۰۲، ۲۰۰۳، ۲۰۰۴ و ۲۰۰۵، از تارنمای <http://apdrc.soest.hawaii.edu> دریافت شد. ایستگاه‌های زمینی مورداستفاده برای محاسبه‌ی نرخ فرسایندگی هم‌زمان با داده‌های TRMM ایستگاه‌های موجود در شکل ۱ است که آمار آنها نیز از سازمان هواشناسی کشور دریافت شد.



شکل ۱: موقعیت ایستگاه‌های سینوپتیک مورداستفاده برای پایش نرخ بارش و فرسایندگی.

شاخص فورنیه اصلاح شده، مطابق رابطه‌ی ۱ محاسبه می‌شود (Gholami et al, 2016).

$$F = \frac{\sum_{i=1}^{12} p_i^2}{\sum_{i=1}^{12} P} \quad \text{رابطه‌ی ۱:}$$

در این رابطه  $F$  شاخص اصلاح شده فورنیه،  $P_i$  متوسط بارندگی ماهانه و  $P$  متوسط بارندگی سالانه بر حسب میلی‌متر است.

در ادامه از رابطه‌هایی که رنارد و فریموند (۱۹۹۴) برای برآورد مقدار  $R$  با استفاده از مقادیر محاسبه شده شاخص فورنیه اصلاح شده پیشنهاد دادند، برای برآورد قدرت فرسایندگی باران برای تصاویر TRMM و ایستگاه‌های موردمطالعه استفاده شده است.

$$R - \text{Factor} = 0.7397 F^{1.847} \quad F < 55 \text{ mm} \quad \text{رابطه‌ی ۲:}$$

$$R - \text{Factor} = (95.77 - 6.81 * F + 0.4770 * F) / 17.2 \quad F \geq 55 \text{ mm} \quad \text{رابطه‌ی ۳:}$$

در این روابط،  $R$  فاکتور فرسایندگی باران بر حسب  $MJ \text{ mm ha}^{-1} \text{ h}^{-1} \text{ y}^{-1}$  است. برای تبدیل مقادیر برآورد نقطه‌ای شاخص فرسایندگی باران به سطح نقشه، از روش درون‌یابی IDW<sup>۱</sup> برای پهن‌بندی عامل فرسایندگی باران استفاده شده است. در اغلب پژوهش‌های صورت گرفته به منظور میانیابی بارش

<sup>1</sup> Inverse Distance Square Weighted

ایستگاه‌های زمینی در برآورد فرسایندگی، از روش IDW استفاده شده است. در این پژوهش نیز از روش IDW به دلیل برآوردهای مشابه ایستگاه‌های زمینی و مناسب بودن آن برای مناطق وسیع و منطقه‌ای استفاده شده است.

### ارزیابی دقت

به منظور ارزیابی داده‌های مورداستفاده در این مطالعه، از ریشه‌ی میانگین مرربع خطاهای و ضریب تبیین  $R^2$  بین مقادیر بارش سالانه ایستگاه‌های سینوپتیک و محصول بارش TRMM مطابق روابط ۴ و ۵ استفاده گردید.

$$RMSE = \sqrt{\frac{\sum_i^n (P_i - O_i)^2}{n}} \quad \text{رابطه‌ی ۴:}$$

$$R^2 = \frac{\sum_i^n (P_i - \bar{O}_i)^2}{\sum_i^n (P_i - \bar{O}_i)^2} \quad \text{رابطه‌ی ۵:}$$

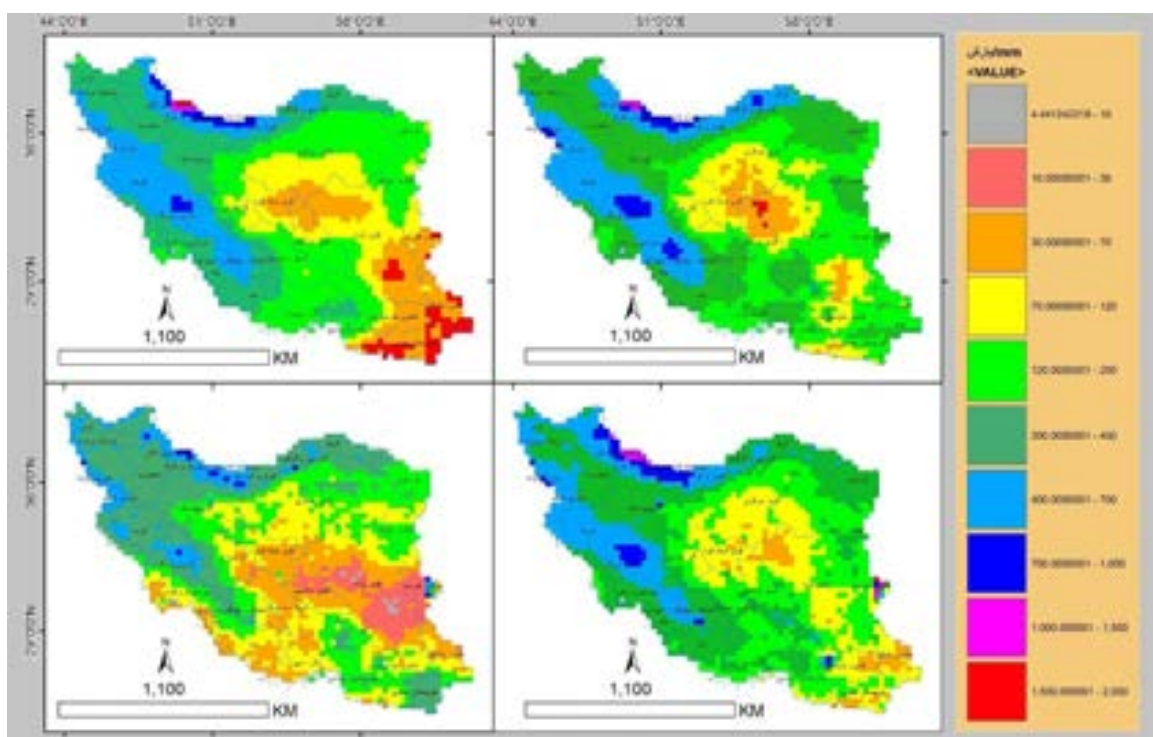
که  $P_i$  مقدار برآورد شده در نقطه‌ی  $i$ ،  $O_i$  مقدار اندازه‌گیری شده در نقطه‌ی  $i$ ،  $\bar{O}_i$  میانگین مقادیر مشاهده‌ای برای نقطه‌ی  $i$  شماره نقاط و  $n$  تعداد مشاهده است.

### ۳- یافته‌ها (نتایج)

بررسی میانگین بارش سالانه‌ی کشور که از محصولات TRMM-3B42 بدست آمده، نشان از تغییرات فضایی محسوس بارش برای مناطق کم بارش کشور طی هر چهار سال است. در سال ۲۰۰۲، مناطق پربارش کشور شامل نواحی خزری و مناطق مرتفع زاگرس است و پس از آن نواحی پایکوهی البرز و زاگرس بیشترین بارش را دارد. از رشته کوه‌ها به سمت کویر مرکزی به صورت لایه‌لایه‌ی منظم، از بارش سالانه کاسته شده، اما کم بارش ترین مناطق کشور نه در مرکز کشور بلکه ناحیه‌ی سیستان و بلوچستان است. در سال ۲۰۰۵، الگوی بارشی کشور همان الگوی سال ۲۰۰۰ است؛ با این تفاوت که ناحیه‌ی هزار و لاله‌زار شمال هرمزگان و سیستان و بلوچستان، بارش بهتری را نسبت به سال ۲۰۰۰ دریافت کرده‌اند و کم بارش ترین منطقه‌ی کشور، منطبق کویر مرکزی است. در سال ۲۰۱۰، کشور کاهش بارش سالانه را در تمامی مناطق تجربه کرده است؛ طی این سال از گستردگی مناطق پربارش در ناحیه‌ی خزری و زاگرس کاسته شده و پر بارش ترین مناطق به صورت تک پیکسل‌هایی مشخص شده‌اند که بارش آنها عمده‌ای با بارش نواحی پایکوهی البرز و محدوده‌ی آذربایجان مساوی شده و از گستردگی سایر طبقات که بارش سالانه‌ی خوبی در سال‌های قبل داشته‌اند، کم شده است (جدول ۱). همچنین طی این سال، کم بارش ترین مناطق کشور منطبق بر کویر مرکزی و سیستان است. در سال ۲۰۱۰، زاگرس فارس، غرب هرمزگان، بوشهر و مناطق مرکزی و جنوب خوزستان کاهش شدید بارش را متحمل شده‌اند. در سال ۲۰۱۵، مجددًا الگوی بارش سالانه‌ی کشور با الگوی بارش در سال‌های ۲۰۰۰ و ۲۰۱۰ شباهت یافته است. طی این سال، طبقه‌ی بارشی ۱۰ تا ۳۰ میلی‌متر و طبقات پایین‌تر از آن در نقشه‌ی بارشی کشور وجود ندارد (شکل ۲).

جدول ۱: پهنه‌بندی میانگین بارش کشور و درصد فراوانی نسبی مساحت هر طبقه از بارش کشور با استفاده از محصولات TRMM

درصد فراوانی	سال				ی بارش دائمی (mm)
	۲۰۱۵	۲۰۱۰	۲۰۰۵	۲۰۰۰	
۰	۰/۲۵	۰	۰	۰	۱۰-۰
۰	۶/۲۷	۰/۲۵	۳/۱۸	۳۰-۱۰	
۳/۲۶	۱۶/۶۳	۵/۳۹	۱۲/۹۷	۷۰-۳۰	
۲۰/۲۱	۲۱/۷۴	۱۳/۶۷	۱۵	۱۲۰-۷۰	
۲۵/۵۵	۲۱/۲۳	۲۷/۷۷	۲۷/۷۷	۲۰۰-۱۲۰	
۳۲	۲۶/۸۷	۳۲/۷۸	۲۳/۷	۴۰۰-۲۰۰	
۱۵/۸۳	۶/۵	۱۷/۵۳	۱۵/۵۹	۷۰۰-۴۰۰	
۲/۶۱	۰/۵۱	۲/۳۷	۱/۴۳	۱۰۰-۷۰۰	
۰/۴۹	۰	۰/۲۴	۰/۲۴	۱۵۰۰-۱۰۰۰	
۰/۰۴	۰	۰	۰/۱۲	۲۰۰۰-۱۵۰۰	
۱۰۰	۱۰۰	۱۰۰	۱۰۰	۱۰۰	مجموع



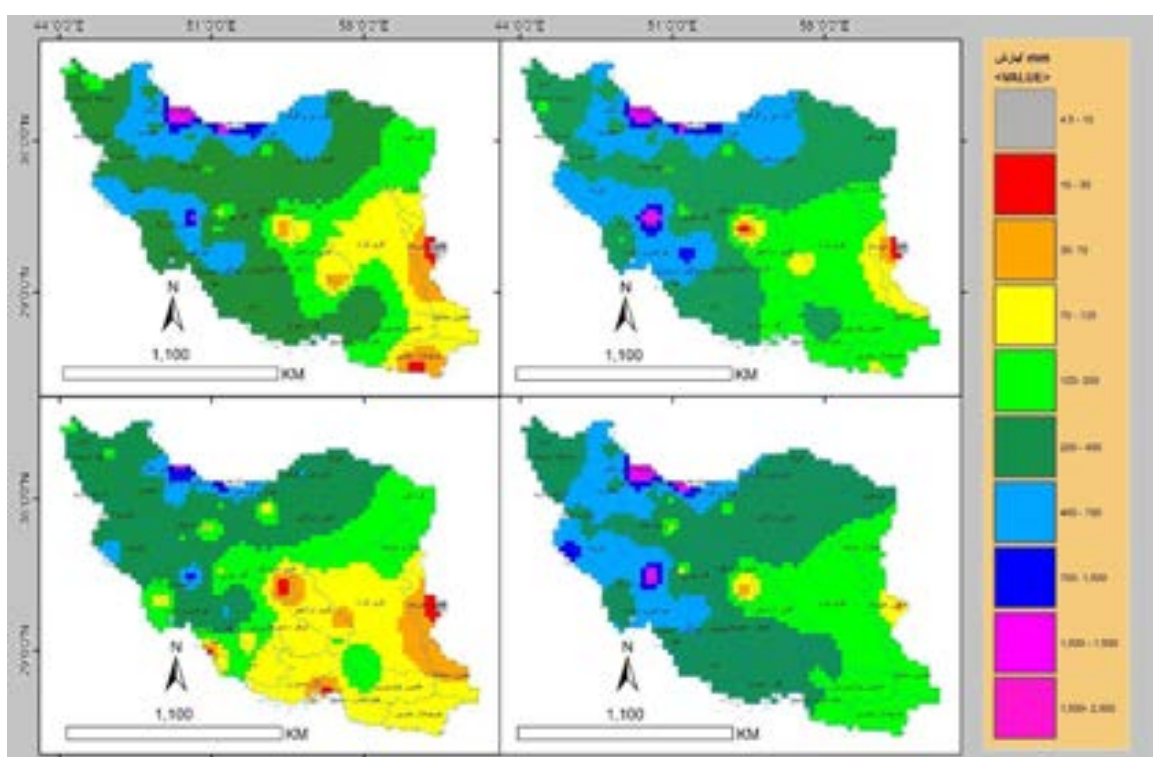
شکل ۲: نقشه‌ی پهنه‌بندی شده‌ی میانگین بارش سالانه با استفاده از محصولات TRMM-3B42

روند میانگین بارش سالانه کشور – که از ایستگاه‌های زمینی و با تکنیک درون‌یابی استخراج شده‌است – در نخستین نگاه نشان‌دهنده‌ی تعدد پیکسل‌های دارای بارش ۱۰۰۰ تا ۱۵۰۰ میلی‌متر برای ایستگاه‌های شهرکرد و کوهرنگ در سال‌های ۲۰۰۵ و ۲۰۱۵ است که در نقشه‌ی مشابه با استفاده از داده‌های TRMM، این طبقه‌ی بارشی مختص ایستگاه انزلی در ناحیه‌ی خزری بوده است. در سال ۲۰۰۰، مناطق پربارش کشور شامل ناحیه‌ی خزری، زاگرس بختیاری و پس از آن نواحی پایکوهی است که به صورت لایه‌لایه از مقادیر بارش به سمت ناحیه‌ی مرکزی کشور کاسته شده، ولی کم بارش‌ترین ناحیه‌ی کشور منطبق بر ناحیه‌ی سیستان و مکران است.

در سال ۲۰۰۵، مرز مناطق پربارش تغییرات محسوسی داشته است که افزایش سطح این مناطق را نشان می‌دهد. همچنین منطقه‌ی بلوچستان و حوضه‌ی لوت نیز از لحاظ بارش به طبقه‌ی ۲۰۰ میلی‌متری ارتقا یافته‌اند. کم بارش‌ترین مناطق در این سال، منطبق بر زابل و یزد است. در سال ۲۰۱۰، میانگین بارش سالانه کشور نسبت به تمامی سال‌ها تغییرات کاهشی محسوسی داشته است و مطابق روند داده‌های RTMM، از مساحت طبقات پربارش (جدول ۲) که شامل ناحیه‌ی خزر و ارتفاعات میانی زاگرس بوده، کاسته شده است. در این سال نواحی پایکوهی البرز، زاگرس و آذربایجان در یک دامنه‌ی بارشی قرار گرفته‌اند. طی این سال بخش اعظمی از کشور که شامل کویر مرکزی، لوت، زاگرس فارس و هرمزگان، جلگه‌ی خوزستان، مکران و سیستان است، در طبقه‌ی بارشی ۷۰ تا ۱۲۰ میلی‌متری قرار گرفته‌اند. کانون‌های کم بارش کشور شامل نواحی یزد، زابل، بندرعباس و بوشهر است. در سال ۲۰۱۵ نیز میانگین بارش کشوری مجدداً به میانگین بارش سال‌های ۲۰۰۰ و ۲۰۰۵ شباهت یافته است. در سال ۲۰۱۵، مناطق کم بارش مرکزی و سیستان و بلوچستان از لحاظ بارش ارتقا یافته‌اند و مناطق زابل و یزد کم بارش‌ترین نواحی کشور هستند (شکل ۳ و جدول ۲).

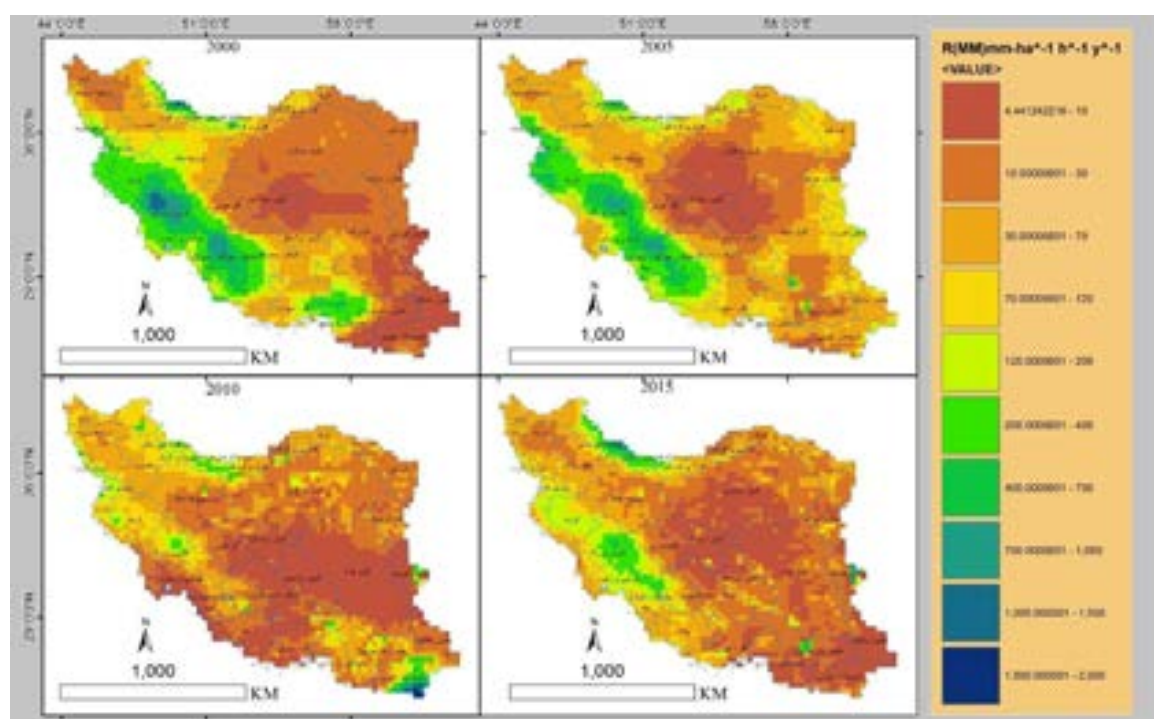
جدول ۲: پهنه‌بندی میانگین بارش کشور و درصد فراوانی نسبی مساحت هر طبقه از بارش کشور با استفاده از داده‌ی ایستگاه‌های سینوپتیک

سال	ی بارش دامنه (mm)			
	۲۰۱۵	۲۰۱۰	۲۰۰۵	۲۰۰۰
درصد فراوانی				
۰	۰/۱۲	۰/۰۹	۰/۱۹	۱۰-۰
۰	۰/۷۱	۰/۳۳	۰/۵۰	۳۰-۱۰
۰/۱۹	۶/۴۲	۰/۶	۳/۹	۷۰-۳۰
۱/۵۱	۲۸/۹۱	۴/۶۱	۱۴/۹۴	۱۲۰-۷۰
۲۸/۳۴	۲۲/۲۸	۲۷/۲۰	۱۷/۴۰	۲۰۰-۱۲۰
۵۰/۵۹	۳۷/۲۶	۴۳/۷۵	۴۴/۹۵	۴۰۰-۲۰۰
۱۶/۸۸	۳/۶۳	۲۰/۸۹	۱۶/۲۴	۷۰۰-۴۰۰
۱/۵۸	۰/۶۲	۱/۷	۱/۲۲	۱۰۰۰-۷۰۰
۰/۸۲	۰/۰۶	۰/۷۲	۰/۵۶	۱۵۰۰-۷۰۰
۰/۰۸	۰	۰/۱۱	۰/۰۹	۲۰۰۰-۱۵۰۰
۱۰۰	۱۰۰	۱۰۰	۱۰۰	مجموع

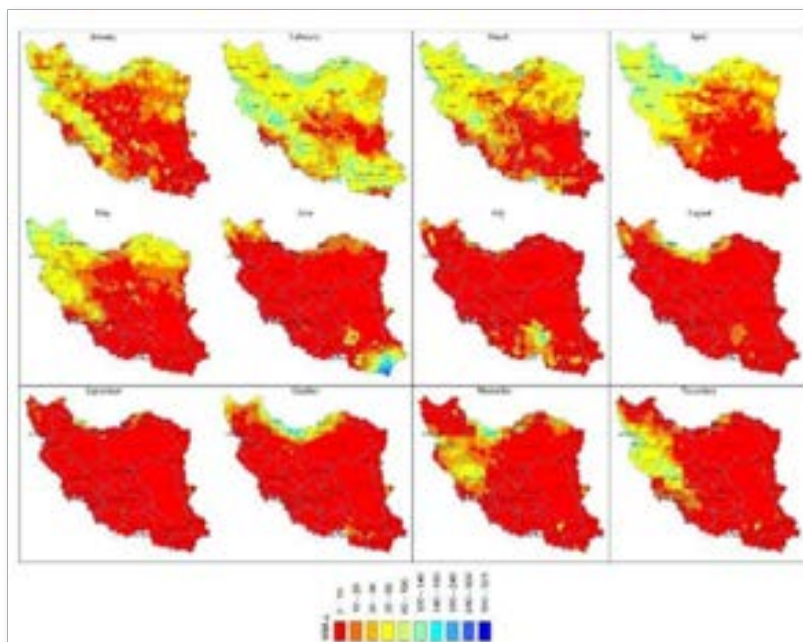


شکل ۳: نقشه‌ی پهنه‌بندی شده‌ی میانگین بارش سالانه با استفاده از داده‌ی ایستگاه‌های سینوپتیک

بررسی نقشه‌های فرسایندگی باران که از محصولات TRMM به دست آمده است (شکل ۴)، در نگاه کلی تبعیت از بارش سالانه کشور را برای هر سال نشان می‌دهد، لکن در جزئیات آن نکات خوبی نیز مشاهده می‌شود. در سال ۲۰۰۰ مناطقی از کشور که بیشترین مقادیر فرسایندگی را دارد، منطبق بر ناحیه‌ی زاگرس میانی و خزری است. پس از طبقه‌ای که نرخ فرسایندگی آن ۷۰۰ تا ۱۰۰۰ است، طبقه‌ی با نرخ فرسایندگی ۴۰۰ تا ۷۰۰ قرار دارد که شامل نواحی حاشیه‌ی زاگرس مرتفع و جنوب کرمان است. نقشه‌ی فرسایندگی کشور در سال ۲۰۰۵، منطبق بر نقشه‌ی سال ۲۰۰۰ است؛ با این تفاوت که از نرخ فرسایندگی ناحیه‌ی جنوب کرمان و شمال هرمزگان کاسته شده است. در سال ۲۰۱۰ که سال کاهش میانگین بارش سالانه کشور است، ناحیه‌ی چابهار بیشترین نرخ فرسایندگی کشور را دارد که علت آن هم نفوذ توده‌های موسمی در ماه ژوئن به این ناحیه است (شکل ۵). در سال ۲۰۱۵ نیز مجدداً بیشترین نرخ فرسایندگی کشور منطبق بر ناحیه‌ی خزر در مرتبه‌ی اول و زاگرس در مرتبه‌ی دوم است.

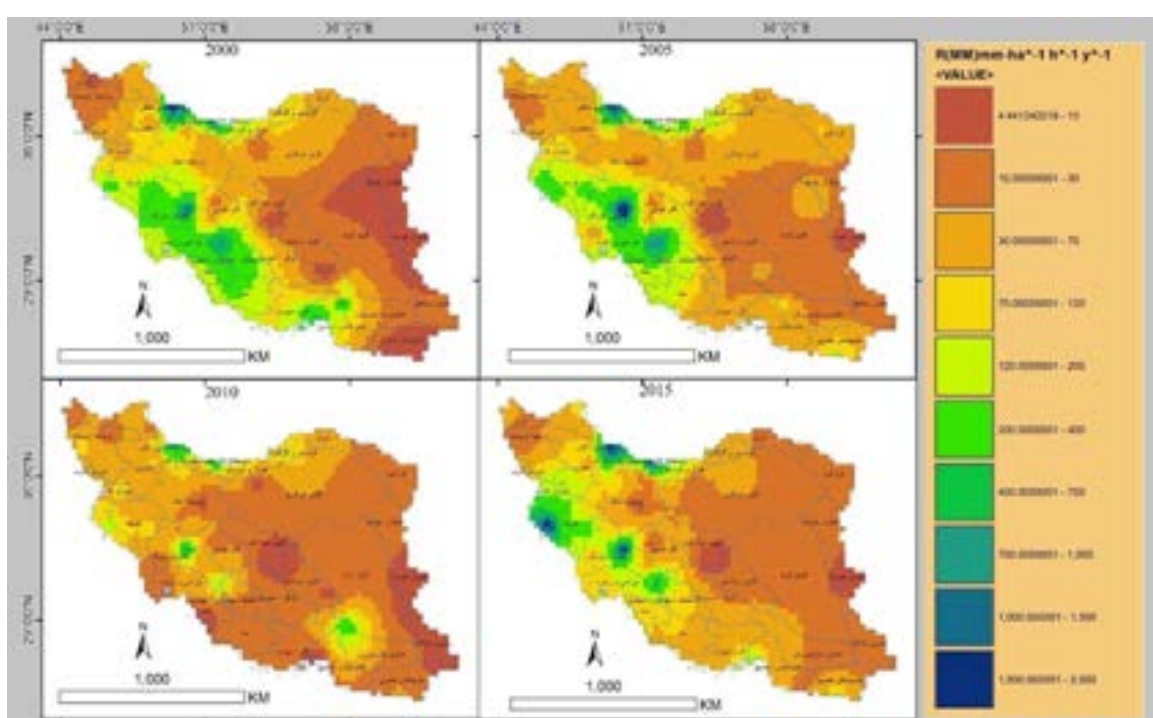


. شکل ۴: نقشه‌ی پهنه‌بندی شده‌ی فرسایندگی کشور با استفاده از محصولات TRMM-3B42.

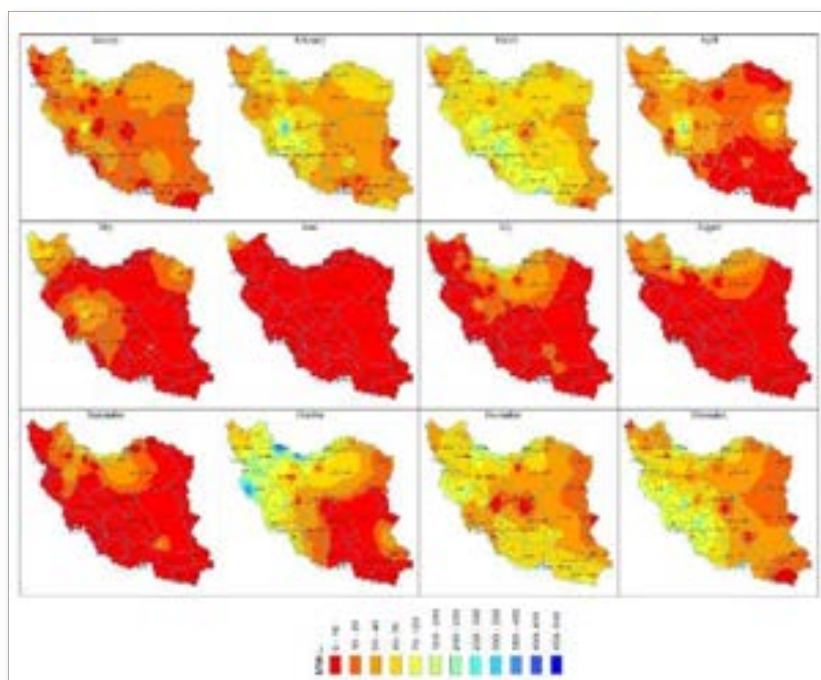


. شکل ۵: نقشه‌ی میانگین بارش ماهانه‌ی کشور برای سال ۲۰۱۰ با استفاده از محصولات TRMM-3B42.

نقشه‌های حاصل از پهنه‌بندی نرخ فرسایندگی کشور با استفاده از داده‌ی ایستگاه‌های زمینی و تکنیک درون‌یابی IDW، نشان از تبعیت این نقشه‌ها از بارش سالانه‌ی ایستگاه‌های سینوپتیک است (شکل ۶). مهم‌ترین نکته‌ای که در این نقشه‌ها جلب توجه می‌کند، بالا بودن نرخ فرسایندگی برای ناحیه‌ی غرب کرمانشاه است که این منطقه طی اکتبر ۲۰۱۵، بارش ۴۰۰ تا ۴۵۰ میلی‌متر در ماه را به ثبت رسانده است (شکل ۷).



شکل ۶: نقشه‌ی پهنه‌ی بندی شده‌ی فرسایندگی کشور با استفاده از داده‌ی ایستگاه‌های سینوپتیک.



شکل ۷: نقشه‌ی میانگین بارش ماهانه‌ی کشور برای سال ۲۰۱۵ با استفاده از داده‌ی ایستگاه‌های زمینی.

### ارزیابی دقت

مقایسه‌ی میانگین بارش سالانه‌ی محصول TRMM با ایستگاه‌های زمینی نشان می‌دهد که مقادیر  $R^2$  طی چهار دوره مقدار قابل قبولی داشته‌است. مقدار  $R^2$  بیانگر روند همسان بارندگی در دو منبع داده است که از این منظر می‌توان

داده‌های TRMM را با داده‌های زمینی در برآورد فاکتور بارش و متعاقباً فرسایندگی باران جایگزین کرد. مقدار RMSE نشان می‌دهد در سال ۲۰۰۰ – که پر بارش ترین سال در میان سال‌های پایش شده است – این مقدار ۱۵۲ میلی‌متر است. در این سال اختلاف بیشینه‌ی بارش در دو داده، ۴۰۶ میلی‌متر است که عمدتاً به چهار ایستگاه پربارش بازمی‌گردد. در سال ۲۰۰۵، اختلاف بین حداکثرهای بارشی در دو منبع داده به ۵۴۳ میلی‌متر و ضریب RMSE به ۲۰۵ میلی‌متر می‌رسد. همچنین در این سال بین مقادیر کمینه‌ی بارش نسبت به دیگر سال‌ها بیشترین اختلاف وجود دارد. در سال ۲۰۱۰، اختلاف در بیشینه‌ی بارش در دو منبع داده به ۵۳۳ و ضریب RMSE به ۱۲۹ تقلیل می‌یابد. در سال ۲۰۱۰ نسبت به دیگر سال‌ها، اختلاف در کمینه‌ی بارش، میانگین، جمع و انحراف معیار بارش نسبت به دیگر سال‌ها کمتر است که این نکته نشان می‌دهد با افزایش بارندگی سالانه، خطای اندازه‌گیری دو منبع داده بالاتر می‌رود؛ زیرا سال ۲۰۱۰ کم بارش ترین سال میان سال‌های پایش شده است. طی سال ۲۰۱۵ نیز اختلاف در بیشینه‌ی بارشی در دو منبع داده به ۵۰۴ میلی‌متر می‌رسد، طی همین سال بیشترین مقدار ضریب RMSE و کمترین مقدار همبستگی نسبت به دیگر سال‌ها وجود دارد.

توجه به مرز نقشه‌های تولید شده چه در پهنه‌بندی بارش سالانه و چه در تهیه‌ی نقشه‌ی فرسایندگی باران، همچنین پارامترهای آماری جدول ۳ نشان می‌دهد که نقشه‌های تولید شده هر چند در دو منبع داده، کلیات را منطبق بر هم نشان می‌دهند، ولی مرزهای فضایی، دامنه‌ی بارشی و انحراف بارش متفاوتی دارند که مهم ترین دلایل آن شامل موارد زیر است:

۱- نقشه‌های پهنه‌بندی شده‌ی بارش و فرسایندگی که با استفاده از داده‌ی ایستگاه‌های زمینی و تکیک درون‌یابی تولید شده‌اند، ماهیت نقطه‌ای دارند که هر چه نقاط بیشتری در فرآیند درون‌یابی دخالت داده شود، نقشه‌های تولیدی از انعطاف‌پذیری و دقت بالاتری برخوردار خواهند شد.

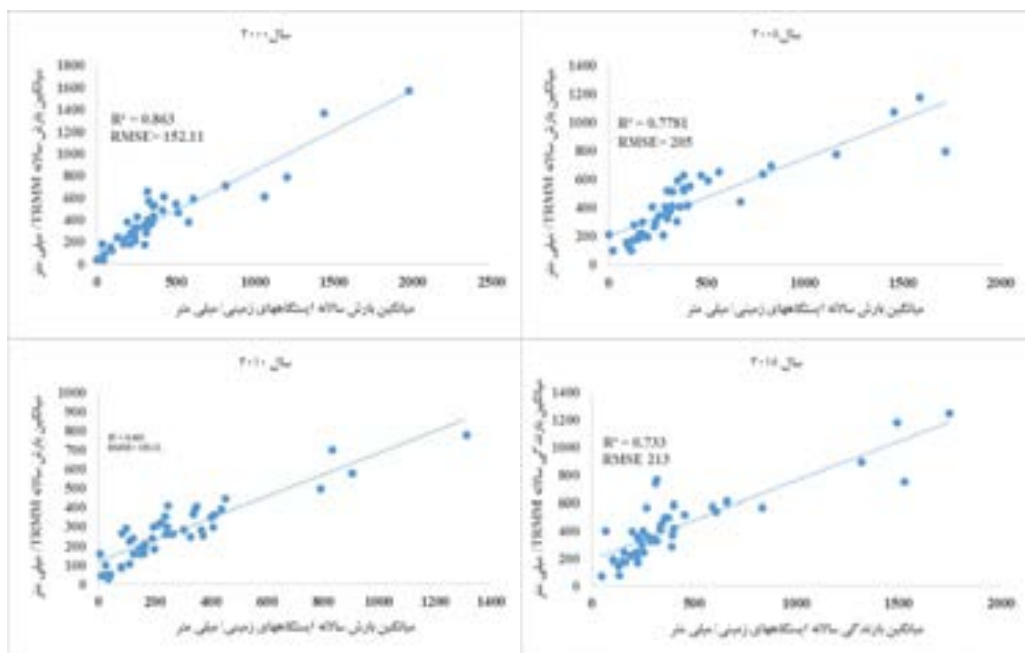
۲- نقشه‌های پهنه‌بندی بارش و فرسایندگی باران که با استفاده از محصولات TRMM ترسیم شده‌اند، ماهیتی فضایی دارند که توسط سنجنده‌های مستقر بر روی ماهواره برداشت شده‌اند. تفکیک فضایی ۲۵ در ۲۵ کیلومتر باعث می‌شود که هر پیکسل، میانگین بارش در این ابعاد را برداشت کند و نمایش دهد؛ زیرا طبق تعریف، پیکسل کوچک‌ترین واحد فضایی است که تجانس دارد و فاقد تفکیک‌پذیری است. مقدار DN در سرتاسر پیکسل یکسان است در صورتی که دامنه‌ی بارشی در ۶۲۵ کیلومترمربع – که مساحت یک پیکسل است – ممکن است تغییرات زیادی داشته باشد و در بعضی قسمت‌های آن در برخی مواقع بارشی دریافت نشود، ولی فرآیند اسکن، بارش منطقه را به آن قسمت تعمیم دهد.

۳- از آنجایی که داده‌های TRMM به صورت فضایی هستند روش مطلوب‌تر در ارزیابی خطای سنجش همبستگی فضایی دو منبع داده است که به دلیل کم بودن ایستگاه‌های دارای آمار، تنها برای پیکسل‌هایی که ایستگاه سینوپتیک در آن قرار داشته است، پارامترهای ارزیابی به دقت اندازه‌گیری شده‌اند.

با توجه به نکات گفته شده، داده‌های TRMM می‌تواند جایگزین مناسبی برای داده‌ی ایستگاه‌های زمینی باشد، ولی ذکر این امر به پژوهش‌های بیشتری در مقیاس حوضه‌های آبریز نیازمند است.

جدول ۳: پارامترهای آماری بارش سالانه ایستگاههای زمینی و محصول TRMM

سال بارشی	منبع داده	کمینه	بیشینه	میانگین	جمع	انحراف از معیار
۲۰۰۰	ایستگاه سینوپتیک	۱/۰۵	۱۹۷۵/۴	۳۷۵/۰۸	۱۶۸۷۸/۵	۳۸۲/۹۸
	TRMM	۳۷/۲۸	۱۵۶۹/۲۹	۳۹۵/۳۳	۱۷۸۷۹/۹۹	۲۴۰/۹
۲۰۰۵	ایستگاه سینوپتیک	۱/۶	۱۷۲۰/۱	۴۰۴/۷۶	۱۸۲۱۴/۱۶	۳۸۶/۳۹
	TRMM	۹۸/۲۴	۱۱۷۵/۷۷	۴۱۸/۲۴	۱۸۸۲۰/۵۹	۲۴۱/۳۵
۲۰۱۰	ایستگاه سینوپتیک	۷/۵۸	۱۳۱۰/۹۸	۲۷۵/۱۲	۱۲۳۸۰/۵۴	۲۵۴/۳۱
	TRMM	۲۸/۴۳	۷۷۷/۲۴	۲۷۴/۸۷	۱۲۳۶۹/۱۸	۱۵۸/۴۲
۲۰۱۵	ایستگاه سینوپتیک	۵۰/۶۱	۱۷۴۸/۳۷	۴۰۲/۲۹	۱۸۱۰۲/۹۳	۳۸۴/۰۳
	TRMM	۶۹/۵۲	۱۲۴۴/۰۷	۴۱۹/۹۹	۱۸۸۹۹/۶۱	۲۵۲/۸۷



شکل ۸: رابطه بین میانگین بارش سالانه، ایستگاههای زمینی و محصول بارشی TRMM

#### ۴- بحث و نتیجه‌گیری

یکی از مهم‌ترین عوامل در جلوگیری از پدیده‌ی مخرب فرسایش، تعیین روشی مناسب برای اندازه‌گیری میزان فرسایش‌پذیری خاک‌هاست؛ به همین دلیل، روش‌های مختلفی برای اندازه‌گیری میزان فرسایش خاک پیشنهاد شده است و از آن استفاده می‌شود. سنجنده‌های باران اطلاعات ارزشمندی در مورد میزان و شدت بارندگی ارائه می‌دهد. با این حال، توزیع فضایی نامنظم و ناهمانگی فضایی حاصل از بارش باران را در برآورد بارش بهخوبی نشان نمی‌دهد؛ زیرا بارش را به صورت نقطه‌ای اندازه‌گیری می‌کند. در این حالت، برآورد مقدار بارش از داده‌های ماهواره‌ای یک

راه حل جایگزین برای این مشکل است که امکان برآورد مقدار بارش و توزیع فضایی آن را در مناطق بزرگ فراهم می‌کند (Teng et al, 2017). سنجنده‌ی TRMM از سال ۱۹۹۷ تاکنون برای رسیدن به محصولات بارشی – که نیمی از جهان را پوشش می‌دهد – مورد استفاده قرار می‌گیرد. در این پژوهش برای بررسی قابلیت محصولات بارشی TRMM در تهیه‌ی نقشه‌ی بارندگی و فرسایندگی کشور، از محصولات ماهانه‌ی TRMM-3B42 و جهت ارزیابی دقت، از آمار بارش ماهانه‌ی ایستگاه‌های سینوپتیک کشور استفاده شده است. نتایج ارزیابی نرخ سالانه‌ی بارندگی نشان می‌دهد که به طور کلی مناطق پربارش کشور منطبق بر ناحیه‌ی خزری و رشته کوه‌های البرز و زاگرس است و نواحی کم بارش منطبق بر نواحی مرکزی کشور، شرق و جنوب شرق کشور است که مرز طبقات بارشی آنان طی چهار سال پایش شده به برخی از تغییرات کاهشی یا افزایشی گرفتار شده است. کم بارش ترین سال در میان سال‌های پایش شده، ۲۰۱۰ و پر بارش ترین سال، سال ۲۰۰۰ است. بررسی نقشه‌های فرسایندگی باران نشان می‌دهد که در سال ۲۰۰۰، مناطقی از کشور که بیشترین مقادیر فرسایندگی را دارند، منطبق بر ناحیه‌ی زاگرس میانی و خزری هستند. نقشه‌ی فرسایندگی کشور در سال ۲۰۰۵ منطبق بر نقشه‌ی سال ۲۰۰۰ است؛ با این تفاوت که از نرخ فرسایندگی ناحیه‌ی جنوب کرمان و شمال هرمزگان کاسته شده است. در سال ۲۰۱۰ که سال کاهش میانگین بارش سالانه کشور است، ناحیه‌ی چابهار بیشترین نرخ فرسایندگی کشور را داشته که علت آن، نفوذ توده‌ی هوای موسمی در ماه ژوئن به این ناحیه است. در سال ۲۰۱۵ نیز مجدداً بیشترین نرخ فرسایندگی کشور منطبق بر نقشه‌ی فرسایندگی سال‌های ۲۰۰۰ و ۲۰۰۵ به تبعیت از افزایش بارندگی است. نقشه‌های حاصل از پنهان‌بندی نرخ فرسایندگی کشور با استفاده از داده‌ی ایستگاه‌های زمینی و تکیک درون‌یابی IDW، تبعیت این نقشه‌ها از بارش سالانه ایستگاه‌های سینوپتیک را نشان می‌دهد. مهم‌ترین نکته‌ای که در این نقشه‌ها جلب توجه می‌کند، بالا بودن نرخ فرسایندگی در ناحیه‌ی غرب کرمانشاه است که این منطقه طی اکتبر ۲۰۱۵، بارش ۴۰۰ تا ۴۵۰ میلی‌متر در ماه را به ثبت رسانده است.

مقایسه‌ی بارندگی سالانه‌ی داده‌های TRMM و ایستگاه‌های سینوپتیک نشان می‌دهد که طی هر ۴ سال، ضریب  $R^2$  مطلوبی بین داده‌های TRMM و ایستگاه‌های زمینی برقرار است. بیشترین مقدار  $R^2$  بین دو دسته داده در سال ۲۰۰۰ با مقدار ۰/۸۶ و کمترین مقدار متعلق به سال ۲۰۱۵ با مقدار ۰/۷۳ بوده است. مقدار RMSE نشان می‌دهد در سال ۲۰۰۰ – که پر بارش ترین سال در میان سال‌های پایش شده است – این مقدار ۱۵۲ میلی‌متر بوده است. در این سال اختلاف بیشینه‌ی بارش در دو روش، ۴۰۶ میلی‌متر است که عمدهاً به چهار ایستگاه پربارش بازمی‌گردد. در سال ۲۰۰۵، اختلاف بین حداکثرهای بارشی در دو منبع داده به ۵۴۳ میلی‌متر و ضریب RMSE به ۰/۲۰۵ میلی‌متر می‌رسد. همچنین در این سال، بیشترین اختلاف بین مقادیر کمینه‌ی بارش نسبت به دیگر سال‌ها وجود دارد. در سال ۲۰۱۰، اختلاف در بیشینه‌ی بارش در دو منبع داده به ۵۳۳ و ضریب RMSE به ۰/۱۲۹ تقلیل می‌یابد. در سال ۲۰۱۰ نسبت به دیگر سال‌ها اختلاف در کمینه‌ی بارش، میانگین، جمع و انحراف معیار بارش نسبت به دیگر سال‌ها کمتر است که این نکته نشان می‌دهد با افزایش بارندگی سالانه، خطای اندازه‌گیری دو منبع داده بالاتر می‌رود؛ زیرا سال ۲۰۱۰ کم بارش ترین سال میان سال‌های پایش شده است. طی سال ۲۰۱۵ نیز اختلاف در بیشینه‌ی بارشی در دو منبع داده به ۵۰۴ میلی‌متر می‌رسد. طی همین سال نیز بیشترین مقدار ضریب RMSE و کمترین مقدار همبستگی نسبت به دیگر سال‌ها وجود دارد.

ارزیابی نتایج به دست آمده از هر دو منبع داده نشان می دهد که هر دو روش، روند کلی بارندگی و متعاقب آن فرسایندگی را نشان می دهند، ولی در مرزهای نواحی بارشی و مناطق حداکثری بارش و حداقلی بارش تفاوت هایی دارند که به ماهیت روش برداشت این دو نوع داده برمی گردد. ایستگاههای زمینی، بارش را به صورت نقطه‌ای برآورد می کنند؛ به همین دلیل، در تهیه نقشه‌ی بارش انعطاف‌پذیری ضعیفی دارند. تکنیک تهیه نقشه‌های بارش و فرسایندگی از داده‌ی ایستگاههای زمینی درون یابی است که هر چه نقاط شرکت کننده در فرآیند درون یابی بیشتر باشد، نقشه‌ی درون یابی شده از انعطاف‌پذیری بخوردار خواهد شد. داده‌های ماهواره‌ای از برداشت سنجنده در طول خط اسکن حاصل می شود که ابعاد هر کدام از پیکسل‌های آن،  $25 \times 25$  کیلومتر است. با توجه به تعریف و ماهیت پیکسل، عدد ثبت شده برای هر پیکسل شامل میانگینی از بارش سطح  $625$  کیلومتر مربع است.

با توجه به اینکه محصولات TRMM در انواع فرمت زمانی (ساعتی، روزانه و ماهانه) و شامل شدت بارش برای مقیاس زمانی گفته شده هستند، با انواع شاخص‌های برآورد نرخ فرسایندگی قابلیت سازگاری دارند و برای تهیه نقشه‌ی فرسایندگی و حوضه‌ها و زیر حوضه‌های کشور قابل استفاده هستند. بنابراین، توصیه می شود از این محصولات برای مطالعات بیشتر و بررسی قابلیت اطمینان و اعتماد پذیری به این منبع داده، استفاده شود.

#### منابع

1. Abedini, M., & N. Jacob njadasl., (2017). Assessment and Zoning of the Soil Erosion Risk in Balekhli river Watershed of Yamci dam, Using Fuzzy Model. *Journal of Quantitative Geomorphology Research*. 6(1), 137-155. (in Persian)
2. Alipour, Z.; Mahdian, M.; Hakimkhani, S.; & M. Saeedi, 2010. Determined of Rainfall Erosivity Indices (EI<sup>30</sup>, Lal, Hudson and Onchev) for Namak Lake Basin, 4 (14), 141-158. (in Persian)
3. Alizadeh, A., 1986. Erosion and soil conservation, Astan Quds Razavi Publishing House. (in Persian)
4. Gholami. H.; Fathizad, H.; Safari, A.; & M. Biniaz., 2016. Evaluation erosivity factor of rain using Geostatistical algorithms (case study: Ilam province, Iran). *journal of Environmental Erosion Research*, 2016, 5 (4), 1-16. (in Persian).
5. Kimani, M. W; Hoedjes, J. C; & Z. Su., 2017. An assessment of satellite-derived rainfall products relative to ground observations over East Africa, *Remote sensing*, 9 (5), 430 p.
6. Kühnlein, M.; Appelhans, T.; Thies, B.; & T. Nauss, 2014. Improving the accuracy of rainfall rates from optical satellite sensors with machine learning—A random forests-based approach applied to MSG SEVIRI, *Remote Sensing of Environment*, 141, 129-143.
7. Lai, C; Chen, X; Wang, Z; Wu, X; Zhao, S; Wu, X; & W. Bai, 2016. Spatio-temporal variation in rainfall erosivity during 1960 -2012 in the Pearl River Basin, China. *Catena*, 137, 382-291.
8. Maidment, R. I.; Grimes, D.; Black, E.; Tarnavsky, E.; Young, M.; Greatrex, H.; ... & E. M. U. Alcántara, 2017. A new, long-term daily satellite-based rainfall dataset for operational monitoring in Africa, *Sci. Data*, 4, 163-170.
9. Mikhailova, E. A.; Bryant, R. B.; Schwager, S. J.; & S. D. Smith, 1997. Predicting rainfall erosivity in Honduras, *Soil Science Society of America Journal*, 61 (1), 273-279.
10. Moradi, S.; Mohammadi Limaei, S.; khanmohamadi, M.; & P. Lohmander, 2015. Estimation of erosin and sediment yield with EPM model in Zemkan basin using GIS, *E.E.R*, 5 (1), 13-26. (in Persian)

11. Pandey, A.; Mishra, S. K.; & A. K. Gautam, 2015. Soil Erosion Modeling Using Satellite Rainfall Estimates, *Journal of Water Resource and Hydraulic Engineering*, 4 (4), 325-318.
12. Refahi. H., 2010. Water erosion and Conservation, Tehran University Press, Tehran (in Persian)
13. Sanchez-Moreno, J. F.; Mannaerts, C. M.; & V. Jetten, 2014. Applicability of satellite rainfall estimates for erosion studies in small offshore areas: A case study in Cape Verde Islands, *Catena*, 121, 365-374.
14. Teimori. M., 2017. The Use of Satellite Rainfall Data and SWAT Models to Simulate Runoff in Kalam Watershed. Master's Thesis, University of Hormozgan, Faculty of Literature and Humanities.
15. Teng, H.; Ma, Z.; Chappell, A.; Shi, Z.; Liang, Z.; & W. Yu, 2017. Improving Rainfall Erosivity Estimates Using Merged TRMM and Gauge Data, *Remote Sensing*, 9 (11), 1134.
16. Teng, H.; Rossel, R. A. V.; Shi, Z.; Behrens, T.; Chappell, A.; & E. Bui, 2016. Assimilating satellite imagery and visible–near infrared spectroscopy to model and map soil loss by water erosion in Australia, *Environmental Modelling & Software*, 77, 156-167.
17. Zhu, Q.; Chen, X.; Fan, Q.; Jin, H.; & J. Li, 2011. A new procedure to estimate the rainfall erosivity factor based on Tropical Rainfall Measuring Mission (TRMM) data, *Science China Technological Sciences*, 54 (9), 24-37.

# Evaluation of Precipitation Products of TRMM Satellite in Precipitation and Erosion Rate Monitoring across Iran

Peyman Mohammadi AhmadMohammadi<sup>1</sup>: Master Degree in Remote Sensing and Geographical Information Systems, Humanities, Hormozgan University, Bandar Abbas

Article History (Received:22/10/2018)

Accepted: 17/02/2019)

## Extended abstract

### 1- Introduction

In order to calculate the erosive power of rainfall, high-resolution precipitation data are necessary for rainfall erosion evaluation. However, collecting the required data on kinetic energy of the rainfall particles and precipitation rates with short-term temporal resolution is a time-intensive task, particularly in developing countries, and the collected data are difficult to process. Rain sensors provide valuable information on the rate and intensity of rainfall, but fail to adequately represent irregular and inconsistent spatial distribution of the precipitation when evaluating the precipitation rate as those perform point measurements of precipitation. Under such circumstances, evaluation of precipitation rate from satellite data provides an alternative approach to the problem, which makes it possible to estimate precipitation rate and its spatial distribution across large areas. All around the world, several research works have been performed to estimate soil erodibility factor using the precipitation product of TRMM sensor, while no research has used such products for erosion and erodibility studies in Iran. Given that a limiting factor for estimating rainfall erosive power across large areas in Iran has been the lack of required data on precipitation intensity or precipitation rate, the present research can provide an approach to address such limitations. This study is aimed at monitoring the precipitation and hence evaluating and monitoring soil erodibility factor using precipitation products of TRMM sensor and comparing the results with those of terrestrial stations

### 2- Methodology

In this research, in order to use Modified Fournier Index (MFI) to estimate corrosive rate during 2000, 2005, 2010, and 2015, monthly precipitation products data of TRMM3B24 sensor was retrieved from <http://apdrc.soest.hawaii.edu> for all months of the considered years. Then, using the Fournier index and the equation proposed by Renard and Ferimvend, the erosive rate for the entire country was extracted for the four years considered in this study. In order to verify and evaluate the accuracy of the precipitation products of TRMM sensor, the monthly precipitation data collected from 45 terrestrial stations were used, and interpolation technique was used to develop precipitation and erosion maps based on the terrestrial data. Accuracy of the precipitation products of TRMM sensor was verified based on root-mean-square error (RMSE) and coefficient of determination (CD) of the annual precipitation at the pixel position of the synoptic stations.

### 3- Results

Results of evaluating annual precipitation rates indicated among the monitored years, the 2010 had experienced the lowest level of precipitation, while the 2000 was the year with the highest precipitation level. A review on rainfall erosion maps indicated that, in 2000, the areas of the country with the highest erosion rates corresponded to the Middle Zagros and Caspian areas. The country's erosion map in 2005 closely resembled that in 2000, the erosion rates in the southern Kerman and northern Hormozgan were significantly lower than 2005. In 2010, when mean annual precipitation exhibited a low, the Chabahar Area exhibited the lowest erosion rate across the country, because of the intrusion of a seasonal air mass in June. In 2015, once again, maximum erosion rate across the country corresponded to those in 2000 and 2005, as determined by increased precipitation rate. A comparison between annual precipitation data collected from TRMM sensor and synoptic stations showed that, during all of the four

<sup>1</sup> Corresponding Author: [Geostudy.1371@yahoo.com](mailto:Geostudy.1371@yahoo.com)

years, an adequately good R<sup>2</sup> value was established between the data from TRMM and that from terrestrial stations. The highest value of R<sup>2</sup> between the TRMM and terrestrial stations data was obtained for 2000 (0.86), while the lowest R<sup>2</sup> value was that of 2015 (0.73). The obtained value of RMSE showed that, in 2000 (the year with the highest precipitation rate among the monitored years), the value of RMSE was 152 mm. For this year, the difference between the peak participation estimated from the two methodologies was 406 mm, which was mainly related to the four stations with the highest precipitation rates. In 2005, the difference between the peak participation estimated based on the data from the two sources was 543 mm, with a RMSE of 205 mm. Also in this year, the difference between minimum precipitation values was highest, as compared to the other years considered in this study. In 2010, the difference between the peak participation estimated based on the data from the two sources was 533 mm, with the RMSE reduced to 129 mm.

#### 4- Discussion & Conclusions

Spatial resolution includes terrestrial dimensions of each pixel of the image and determines accuracy of the image. Terrestrial dimensions of each pixel of the precipitation products of TRMM is 25 km by 25 km. Given the nature and definition of the pixel, it is the smallest spatial unit with its most important characteristic being the consistency across the entire pixel. Accordingly, the 625-km<sup>2</sup> area of each pixel of an image from TRMM takes only one numerical value (DN) which is an average value of the precipitation across the entire 625-km<sup>2</sup> area. Therefore, accuracy of each pixel in recording the precipitation depends on the variations of precipitation across the mentioned area. Terrestrial stations provide point estimations of precipitation, and interpolation technique is used to prepare erosion and precipitation maps from terrestrial stations. Accordingly, the higher the number of points included in the process of interpolation, the more flexible will be the resultant interpolated map. Given the fundamental differences between precipitation measurements by satellite sensors and classic terrestrial stations, it is difficult to firmly express that the data from terrestrial stations shall be taken as reference data and the remote sensing data shall be verified against the terrestrial data, because even in point measurements, there are cases where the precipitation condition in points near the measurement point is significantly different from that at the measurement point.

**Key Words:** Spatial Data, Erosion, Environmental Hazards, Land Management.